

УДК 539.3

**ОПРЕДЕЛЕНИЕ НАПРЯЖЕННО-ДЕФОРМИРОВАННОГО СОСТОЯНИЯ
ГОРНЫХ ПОРОД ПО ДАННЫМ ИЗМЕРЕНИЙ НА КОНТУРЕ ВЫРАБОТКИ
ВЕКТОРА НАПРЯЖЕНИЙ КОШИ И ВЕКТОРА СМЕЩЕНИЙ**

А. И. Чанышев^{1,2}, И. М. Абдулин¹

¹*Институт горного дела им. Н. А. Чинакала СО РАН,*

E-mail: a.i.chanyshev@gmail.com, Красный проспект, 54, 630091, г. Новосибирск, Россия

²*Новосибирский государственный университет экономики и управления,
ул. Каменская, 56, 630099, г. Новосибирск, Россия*

Построено точное решение задачи об определении напряженно-деформированного состояния границ выработок произвольной геометрии, если на границе заданы одновременно вектор напряжений Коши и вектор смещений. Определены в явном виде все компоненты тензоров напряжений и деформаций, компоненты вектора поворота в зависимости от упругих характеристик среды, от значений заданных функций и от дифференциальных свойств границы.

Переопределенная задача, напряжения, деформации, компоненты вектора поворота

DOI: 10.15372/FTPRPI20210102

Для обеспечения безопасного ведения горных работ необходим контроль напряженно-деформированного состояния как самого массива пород, так и элементов, поддерживающих выработанное пространство, в том числе крепей горных выработок [1–3]. Одним из доступных способов контроля является измерение смещений с помощью оптических систем наблюдения [4]. Современные средства позволяют контролировать смещения не только в двух, но и в трех направлениях измерений (3D-смещения). Пример измерений 3D-смещений — спутниковые наблюдения за поверхностью Земли (системы GPS, ГЛОНАСС). Если есть возможность измерить смещения в ряде точек, то решается вопрос о построении трех функций смещений как функций координат на границе тела. Однако из-за проявлений различного рода неоднородностей и ошибок измерений требуется проводить осреднения, т. е. строить корреляционные зависимости [5]. При этом за счет осреднений исчезает роль флуктуаций, т. е. малые изменения во входных данных на границе приводят к неоправданно большим изменениям функции внутри области деформирования или нагружения (корректно поставленные задачи [6]).

Работа выполнена в рамках государственного задания Министерства науки и высшего образования Российской Федерации (тема № АААА-А17-117121140065-7) и при финансовой поддержке РФФИ (проект № 18-05-00757).

Проблема применения экспериментальных данных, полученных при измерении смещений на границе контура выработки, свободного от напряжений, разрабатывалась еще в 70-е гг. XX в. в ИГД СО РАН [7, 8]. В [9–11] по измеренным смещениям восстанавливалось напряженно-деформированное состояние массива пород на основе решения 2-й или 3-й краевой задачи механики деформируемого твердого тела. Эти разработки получили дальнейшее развитие в [12, 13], в которых представлены методы решения задач с переопределенными условиями на границе. К этим публикациям примыкает [14].

В настоящей работе метод, получивший название экспериментально-аналитический, применяется для оценки напряженно-деформированного состояния контура выработки произвольной геометрии, если на нем кроме нулевого вектора Коши (контур, свободный от напряжений) заданы одновременно три компоненты вектора смещений. Это может быть заглубленная выработка или выработка в условиях открытых горных работ. Постановка задачи дополнена условием присутствия на контуре выработки вектора напряжений Коши, не равного нулю (контур выработки может быть нагружен какими-то усилиями). Полученное точное решение задачи о напряженно-деформированном состоянии границы массива пород с одновременно заданными на нем вектором напряжений Коши и вектором смещений может быть использовано для оценки состояния обделок тоннелей любого сечения (круглого, эллиптического и др.), различного рода крепей. Для этого требуется знать механические характеристики материалов конструкций, вид уравнения исследуемого контура, три функции смещений как функции координат границы.

ПОСТАНОВКА И РЕШЕНИЕ ЗАДАЧИ

Пусть на поверхности какого-либо тела заданы как функции координат поверхности три компоненты вектора напряжений Коши:

$$\begin{cases} \sigma_x n_x + \tau_{xy} n_y + \tau_{xz} n_z = p_x^n, \\ \tau_{xy} n_x + \sigma_y n_y + \tau_{yz} n_z = p_y^n, \\ \tau_{xz} n_x + \tau_{yz} n_y + \sigma_z n_z = p_z^n. \end{cases} \quad (1)$$

Предположим, что поверхность, на которой выполняются (1), задана уравнением

$$y = f(x, z) \quad (2)$$

или

$$\Phi(x, y, z) = y - f(x, z) = 0. \quad (3)$$

Пусть на поверхности (2) заданы еще компоненты вектора смещений:

$$\begin{cases} u_x = \varphi(x, y, z)|_{\Gamma} = \varphi(x, f(x, z), z) = \varphi_1(x, z), \\ u_y = \psi(x, y, z)|_{\Gamma} = \psi(x, f(x, z), z) = \psi_1(x, z), \\ u_z = \chi(x, y, z)|_{\Gamma} = \chi(x, f(x, z), z) = \chi_1(x, z), \end{cases} \quad (4)$$

где $\varphi_1, \psi_1, \chi_1$ — известные функции координат x, z , принадлежащих поверхности (2).

Поставим следующую задачу: найти по условиям (1), (2), (4) все компоненты тензоров напряжений и деформаций, вектора поворота в точке поверхности тела. Рассмотрим градиент функции $\Phi(x, y, z)$:

$$\text{grad}\Phi(x, y, z) = \left(-\frac{\partial f}{\partial x}, 1, -\frac{\partial f}{\partial z} \right). \quad (5)$$

Вектор \vec{N} из (5) направлен по нормали к (3) или (2), его длина равна

$$|\vec{N}| = \sqrt{f_x'^2 + f_z'^2 + 1}. \quad (6)$$

Направляющие косинусы в (1) определяются из (5), (6):

$$n_x = -\frac{f_x'}{\sqrt{f_x'^2 + f_z'^2 + 1}}, \quad n_y = \frac{1}{\sqrt{f_x'^2 + f_z'^2 + 1}}, \quad n_z = -\frac{f_z'}{\sqrt{f_x'^2 + f_z'^2 + 1}}. \quad (7)$$

От функций u_x, u_y, u_z в левой части (4) найдем дифференциалы. С одной стороны, имеем

$$du_x = \frac{\partial u_x}{\partial x} dx + \frac{\partial u_x}{\partial y} dy + \frac{\partial u_x}{\partial z} dz, \quad du_y = \dots, \quad du_z = \dots \quad (8)$$

С другой стороны, рассматривая их на поверхности (2), где $dy = f_x' dx + f_z' dz$, из (8) получаем

$$\begin{cases} du_x = \frac{\partial u_x}{\partial x} dx + \frac{\partial u_x}{\partial y} [f_x' dx + f_z' dz] + \frac{\partial u_x}{\partial z} dz, \\ du_y = \frac{\partial u_y}{\partial x} dx + \frac{\partial u_y}{\partial y} [f_x' dx + f_z' dz] + \frac{\partial u_y}{\partial z} dz, \\ du_z = \frac{\partial u_z}{\partial x} dx + \frac{\partial u_z}{\partial y} [f_x' dx + f_z' dz] + \frac{\partial u_z}{\partial z} dz. \end{cases} \quad (9)$$

Рассмотрим правые части (4). Вычисляя дифференциалы от функций $\varphi_1, \psi_1, \chi_1$, находим выражения

$$d\varphi_1 = \frac{\partial \varphi_1}{\partial x} dx + \frac{\partial \varphi_1}{\partial z} dz, \quad d\psi_1 = \dots, \quad d\chi_1 = \dots \quad (10)$$

Сравнивая (9), (10), имеем следующие равенства:

$$\frac{\partial \varphi_1}{\partial x} = \frac{\partial u_x}{\partial x} + \frac{\partial u_x}{\partial y} f_x', \quad \frac{\partial \psi_1}{\partial x} = \frac{\partial u_y}{\partial x} + \frac{\partial u_y}{\partial y} f_x', \quad \frac{\partial \chi_1}{\partial x} = \frac{\partial u_z}{\partial x} + \frac{\partial u_z}{\partial y} f_x', \quad (11)$$

$$\frac{\partial \varphi_1}{\partial z} = \frac{\partial u_x}{\partial y} f_z' + \frac{\partial u_x}{\partial z}, \quad \frac{\partial \psi_1}{\partial z} = \frac{\partial u_y}{\partial y} f_z' + \frac{\partial u_y}{\partial z}, \quad \frac{\partial \chi_1}{\partial z} = \frac{\partial u_z}{\partial x} f_z' + \frac{\partial u_z}{\partial z}. \quad (12)$$

Если к уравнениям (1), (11), (12) добавить шесть соотношений закона Гука, то в итоге получим систему из 15 уравнений для 15 неизвестных:

$$\sigma_x, \sigma_y, \sigma_z, \tau_{xy}, \tau_{xz}, \tau_{yz}, \varepsilon_x, \varepsilon_y, \varepsilon_z, \varepsilon_{xy}, \varepsilon_{xz}, \varepsilon_{yz}, \omega_x, \omega_y, \omega_z,$$

где $\varepsilon_x, \varepsilon_y, \varepsilon_z, \varepsilon_{xy}, \varepsilon_{xz}, \varepsilon_{yz}$ — компоненты тензора деформаций; $\omega_x, \omega_y, \omega_z$ — компоненты вектора поворота:

$$\omega_x = \frac{1}{2} \left(\frac{\partial u_z}{\partial y} - \frac{\partial u_y}{\partial z} \right), \quad \omega_y = \frac{1}{2} \left(\frac{\partial u_x}{\partial z} - \frac{\partial u_z}{\partial x} \right), \quad \omega_z = \frac{1}{2} \left(\frac{\partial u_y}{\partial x} - \frac{\partial u_x}{\partial y} \right). \quad (13)$$

Понизим порядок этой системы.

С учетом (7) перепишем (1) в виде

$$\begin{cases} \sigma_x f_x' - \tau_{xy} + \tau_{xz} f_z' = \tilde{p}_x^n, \\ \tau_{xy} f_x' - \sigma_y + \tau_{yz} f_z' = \tilde{p}_y^n, \\ \tau_{xz} f_x' - \tau_{yz} + \sigma_z f_z' = \tilde{p}_z^n, \end{cases} \quad (14)$$

где $\tilde{p}_x^n = -p_x^n \sqrt{f_x'^2 + f_z'^2 + 1}$, $\tilde{p}_y^n = -p_y^n \sqrt{f_x'^2 + f_z'^2 + 1}$, $\tilde{p}_z^n = -p_z^n \sqrt{f_x'^2 + f_z'^2 + 1}$.

Соотношения (11), (12) представим как

$$\begin{cases} \varepsilon_x + (\varepsilon_{xy} - \omega_z) f_x' = \frac{\partial \varphi_1}{\partial x}, & \varepsilon_{xy} + \omega_z + \varepsilon_y f_x' = \frac{\partial \psi_1}{\partial x}, \\ \varepsilon_{xz} - \omega_y + (\varepsilon_{yz} + \omega_x) f_x' = \frac{\partial \chi_1}{\partial x}, & (\varepsilon_{xy} - \omega_z) f_z' + \varepsilon_{xz} + \omega_y = \frac{\partial \varphi_1}{\partial z}, \\ \varepsilon_y f_z' + \varepsilon_{yz} - \omega_x = \frac{\partial \psi_1}{\partial z}, & (\varepsilon_{yz} + \omega_x) f_z' + \varepsilon_z = \frac{\partial \chi_1}{\partial z}. \end{cases} \quad (15)$$

Подставляя закон Гука в (15), находим систему уравнений в деформациях.

В системе (16) исключим компоненты вектора поворота. В результате получаем систему из шести уравнений для определения шести неизвестных $\varepsilon_x, \varepsilon_y, \varepsilon_z, \varepsilon_{xy}, \varepsilon_{xz}, \varepsilon_{yz}$:

$$\begin{cases} [\varepsilon_x(1-\nu) + \nu(\varepsilon_y + \varepsilon_z)] f_x' - \varepsilon_{xy}(1-2\nu) + (1-2\nu)\varepsilon_{xz} f_z' = \frac{\tilde{p}_x^n(1-2\nu)(1+\nu)}{E}, \\ \varepsilon_{xy}(1-2\nu) f_x' - [\varepsilon_y(1-\nu) + \nu(\varepsilon_x + \varepsilon_z)] + (1-2\nu)\varepsilon_{yz} f_z' = \frac{\tilde{p}_y^n(1-2\nu)(1+\nu)}{E}, \\ \varepsilon_{xz}(1-2\nu) f_x' - (1-2\nu)\varepsilon_{yz} + [\varepsilon_z(1-\nu) + \nu(\varepsilon_x + \varepsilon_y)] f_z' = \frac{\tilde{p}_z^n(1-2\nu)(1+\nu)}{E}, \end{cases} \quad (16)$$

$$\begin{cases} \varepsilon_x + 2\varepsilon_{xy} f_x' + \varepsilon_y f_x'^2 = \frac{\partial \varphi_1}{\partial x} + f_x' \frac{\partial \psi_1}{\partial x}, \\ \varepsilon_z + 2\varepsilon_{yz} f_z' + \varepsilon_y f_z'^2 = \frac{\partial \chi_1}{\partial z} + f_z' \frac{\partial \psi_1}{\partial z}, \\ \varepsilon_{xz} + \varepsilon_{xy} f_z' + \varepsilon_{yz} f_x' + \varepsilon_y f_x' f_z' = \frac{1}{2} \left(\frac{\partial \chi_1}{\partial x} + f_x' \frac{\partial \psi_1}{\partial z} + f_z' \frac{\partial \psi_1}{\partial x} + \frac{\partial \varphi_1}{\partial z} \right). \end{cases} \quad (17)$$

Система (16), (17) — система линейных алгебраических уравнений для шести неизвестных. Чтобы ее решение существовало и было единственным, необходимо, чтобы ее определитель был ненулевой. Введем вспомогательные обозначения:

$$f_x' = \alpha, \quad f_z' = \beta. \quad (18)$$

Тогда определитель Δ получает вид:

$$\Delta = \begin{vmatrix} (1-\nu)\alpha & \nu\alpha & \nu\alpha & -(1-2\nu) & (1-2\nu)\beta & 0 \\ -\nu & -(1-\nu) & -\nu & (1-2\nu)\alpha & 0 & (1-2\nu)\beta \\ \nu\beta & \nu\beta & (1-\nu)\beta & 0 & (1-2\nu)\alpha & -(1-2\nu) \\ 1 & \alpha^2 & 0 & 2\alpha & 0 & 0 \\ 0 & \beta^2 & 1 & 0 & 0 & 2\beta \\ 0 & \alpha\beta & 0 & \beta & 1 & \alpha \end{vmatrix}.$$

Раскрывая Δ стандартным образом, находим

$$\frac{\Delta}{(1-2\nu)^2(1-\nu)} = (\alpha^2 + \beta^2 + 1)^3. \quad (19)$$

Из (19) следует, что определитель Δ в случае $\nu \neq 1/2$, $\nu \neq 1$, не ноль, т. е. (16), (17) имеют единственное решение. Таким образом однозначно определяются все деформации, напряжения, компоненты вектора поворота.

Приведем решение системы (16), (17):

$$\begin{aligned}
 \varepsilon_x &= K(\alpha m_1[2(1-\nu)(\alpha^2 + \beta^2 + 1) - \alpha^2] + \alpha^2[m_2 - \beta m_3] + \\
 &\quad + (1-2\nu)\{[(1-\nu)(\alpha^2 + \beta^2 + 1) - \alpha^2][(\beta^2 + 1)l_1 - 2\alpha\beta l_3] + [\beta^2 - \nu(\alpha^2 + \beta^2 + 1)]\alpha^2 l_2\}), \\
 \varepsilon_y &= -K(\alpha m_1 + \beta m_3 + [2(1-\nu)(\alpha^2 + \beta^2 + 1) - 1]m_2 + \\
 &\quad + (1-2\nu)\{[\nu(\alpha^2 + \beta^2 + 1) - \alpha^2]l_1 + [\nu(\alpha^2 + \beta^2 + 1) - \beta^2]l_2 - 2\alpha\beta l_3\}), \\
 \varepsilon_z &= K(\beta m_3[2(1-\nu)(\alpha^2 + \beta^2 + 1) - \beta^2] + \beta^2[m_2 - \alpha m_1] + \\
 &\quad + (1-2\nu)\{[(1-\nu)(\alpha^2 + \beta^2 + 1) - \beta^2][(\alpha^2 + 1)l_2 - 2\alpha\beta l_3] + [\alpha^2 - \nu(\alpha^2 + \beta^2 + 1)]\beta^2 l_1\}), \\
 \varepsilon_{xy} &= K(-m_1[(1-\nu)(\alpha^2 + \beta^2 + 1) - \alpha^2] + \alpha m_2[(1-\nu)(\alpha^2 + \beta^2 + 1) - 1] + \alpha\beta m_3 + \\
 &\quad + (1-2\nu)\{\alpha(\beta^2 + 1)l_1 + [\nu(\alpha^2 + \beta^2 + 1) - \beta^2]l_2\} + \beta[(1-\nu)(\alpha^2 + \beta^2 + 1) - 2\alpha^2]l_3), \\
 \varepsilon_{xz} &= K(\beta m_1[(1-\nu)(\alpha^2 + \beta^2 + 1) - \alpha^2] + \alpha\beta m_2 + \alpha m_3[(1-\nu)(\alpha^2 + \beta^2 + 1) - \beta^2] + \\
 &\quad + (1-2\nu)\{-\alpha\beta[(\beta^2 + 1)l_1 + (\alpha^2 + 1)l_2] + [2\alpha^2\beta^2 + (1-\nu)(\alpha^2 + \beta^2 + 1)]l_3\}), \\
 \varepsilon_{yz} &= K(\alpha\beta m_1 + \beta m_2[(1-\nu)(\alpha^2 + \beta^2 + 1) - 1] - m_3[(1-\nu)(\alpha^2 + \beta^2 + 1) - \beta^2] + \\
 &\quad + (1-2\nu)\{\beta[\nu(\alpha^2 + \beta^2 + 1) - \alpha^2]l_1 + \beta(\alpha^2 + 1)l_2 + \alpha[(1-\nu)(\alpha^2 + \beta^2 + 1) - 2\beta^2]l_3\}).
 \end{aligned} \tag{20}$$

Здесь $K = ((1-\nu)(1-2\nu)(\alpha^2 + \beta^2 + 1)^2)^{-1}$; символами m_1, m_2, m_3 обозначены правые части (17); l_1, l_2, l_3 — правые части (18).

Замечание. Заметим, что уравнения (16) — это аналог уравнений равновесия, а уравнения (17) — условия совместности деформаций для случая, когда на поверхности заданы три смещения как функции координат поверхности. По смещениям однозначно с помощью формул Коши определяются только три деформации на поверхности, а для нахождения трех других деформаций получаются условия совместности деформаций в виде (17).

То, что (20) является решением системы, проверяется непосредственной подстановкой (20) в (16), (17).

АНАЛИЗ РЕШЕНИЯ

В формулах (20) наблюдается определенная симметрия (ср. выражения для ε_{xy} и ε_{yz} , для ε_x и ε_z). Из (20) вытекает следующая формула для изменения объема в точке тела на его поверхности в случае $p_x^n = p_y^n = p_z^n = 0$:

$$\varepsilon_x + \varepsilon_y + \varepsilon_z = \frac{(1-2\nu)[(1+\beta^2)l_1 + (1+\alpha^2)l_2 - 2\alpha\beta l_3]}{(1-\nu)(\alpha^2 + \beta^2 + 1)}.$$

С учетом l_1, l_2, l_3 получаем, что

$$\varepsilon_x + \varepsilon_y + \varepsilon_z = \frac{(1-2\nu)}{(1-\nu)(\alpha^2 + \beta^2 + 1)} \left[(\beta^2 + 1) \frac{\partial \varphi_1}{\partial x} + \alpha \frac{\partial \psi_1}{\partial x} + \beta \frac{\partial \psi_1}{\partial z} + (\alpha^2 + 1) \frac{\partial \chi_1}{\partial z} - \alpha\beta \left(\frac{\partial \chi_1}{\partial x} + \frac{\partial \varphi_1}{\partial z} \right) \right].$$

Как частный случай при $\alpha = \beta = 0$ находим

$$\varepsilon_x = l_1 = \frac{\partial \varphi_1}{\partial x}, \quad \varepsilon_y = -\frac{\nu}{1-\nu}(l_1 + l_2) = -\frac{\nu}{1-\nu} \left(\frac{\partial \varphi_1}{\partial x} + \frac{\partial \chi_1}{\partial z} \right),$$

$$\varepsilon_z = l_2 = \frac{\partial \chi_1}{\partial z}, \quad \varepsilon_{xy} = 0, \quad \varepsilon_{xz} = l_3 = \frac{1}{2} \left(\frac{\partial \chi_1}{\partial x} + \frac{\partial \varphi_1}{\partial z} \right), \quad \varepsilon_{yz} = 0.$$

Говоря о решении (20), следует заметить, что оно относится к случаю, когда одна из координат поверхности может быть выражена через две другие. К такому классу поверхностей относятся выемки в виде эллипсоидов в случае подземных работ, конусообразных поверхностей при открытом способе добычи полезных ископаемых. Вместе с тем в горном деле существует другой класс поверхностей, который не описывается уравнением (2). К ним относятся цилиндрические поверхности, встречающиеся в шахтном производстве (стволы, штреки). Покажем, как и в этом случае могут быть найдены все перечисленные выше величины.

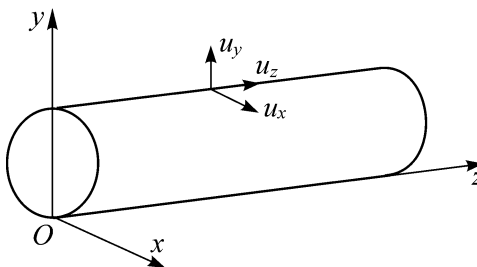
Пусть имеется горная выработка с поперечным сечением, описываемым уравнением

$$\Phi(x, y) = 0. \tag{21}$$

Считается, что ось z прямоугольной декартовой системы координат направлена вдоль образующей цилиндрической поверхности (рисунок). Сечением здесь может служить любая кривая, в том числе эллипс, трапеция, прямоугольник и т.д. В виде, разрешенном относительно координаты y , (21) запишется как

$$y = f(x). \tag{22}$$

Найдем градиент функции $y - f(x) = 0$. Координаты этого вектора равны $(-\partial f / \partial x, 1, 0)$. Пусть на поверхности цилиндрической выработки известны из экспериментов смещения u_x, u_y, u_z как функции координат x, y, z . Для простоты рассмотрения будем считать, что контур выработки свободен от напряжений. Однако, не ограничивая общности, примем, что вектор Коши \vec{p}_n на поверхности цилиндра не ноль ($\vec{p}_n \neq \vec{0}$), т. е. имеем подкрепленную выработку.



Выработка цилиндрической формы с заданными на ней смещениями u_x, u_y, u_z как функциями координат поверхности

Запишем условия равновесия на поверхности выработки. Имеем

$$\vec{n} = \frac{1}{\sqrt{1+f_x'^2}} (-f_x', 1, 0), \tag{23}$$

$$\begin{cases} \sigma_x n_x + \tau_{xy} n_y = p_x^n, \\ \tau_{xy} n_x + \sigma_y n_y = p_y^n, \\ \tau_{xz} n_x + \tau_{yz} n_y = p_z^n. \end{cases} \tag{24}$$

Считаем далее, что на контуре заданы условия (4), которые в нашем случае означают, что

$$\begin{cases} u_x = \varphi(x, y, z)|_{\Gamma} = \varphi(x, f(x), z) = \varphi_1(x, z), \\ u_y = \psi_1(x, z), \\ u_z = \chi_1(x, z). \end{cases} \quad (25)$$

Отсюда следует, что существуют соотношения (11), (12), в которых частная производная $f'_z = 0$. При этом остается прежней задача: по условиям (24), (25) восстановить в точке поверхности тела все компоненты тензоров напряжений, деформаций, вектора поворота.

В итоге имеем систему уравнений (16), (17) с условием $f'_z = 0$ ($\beta = 0$). На этой основе находятся все деформации согласно (20), где $\alpha = f'_x$, $\beta = 0$. По деформациям находим напряжения и компоненты вектора поворота.

По такому же сценарию можно рассматривать пластическое и запредельное состояния массива пород вблизи контура выработки. Полученное решение по построению справедливо на границе; чтобы его продолжить внутрь области деформирования, требуется привлекать дифференциальные уравнения равновесия Коши, условия совместимости Сен-Венана. Это решение в виде (20) и (25) будет служить начальными данными при интегрировании перечисленных дифференциальных уравнений.

ВЫВОДЫ

Представлено решение задачи об определении напряженно-деформированного состояния поверхности массива горных пород, если на ней заданы одновременно вектор напряжений Коши и вектор смещений. Получена система шести линейных алгебраических уравнений, состоящая из трех уравнений равновесия на поверхности тела (условий Коши) и трех уравнений совместности деформаций. Ненулевой определитель означает, что решение системы существует, единственно и непрерывно зависит от входных данных. Решение получено в явном виде как аналитическая формула. Задавая различную геометрию поверхностей массива, можно с использованием полученных формул исследовать напряженно-деформированное состояние обделок тоннелей различного сечения, крепей выработок разной формы, если на них проводить измерения смещений.

СПИСОК ЛИТЕРАТУРЫ

1. Козырев А. А., Панин В. И., Семенова И. Э., Журавлева О. Г. О геодинамической безопасности горных работ в удароопасных условиях на примере Хибинских апатитовых месторождений // ФТПРПИ. — 2018. — № 5. — С. 33–44.
2. Инумула С., Бади Д. Численная и аналитическая оценка факторов, влияющих на устойчивость борта разреза Дорли (Индия) // ФТПРПИ. — 2019. — № 3. — С. 37–43.
3. Верхоланцев А. В., Дягилев Р. А., Шулаков Д. Ю., Шкурко А. В. Мониторинг сейсмического воздействия взрывов на карьере “Шахтау” // ФТПРПИ. — 2019. — № 2. — С. 59–69.

4. Кирилловский В. К., Ле Зуй Туан. Оптические измерения. Ч. 6. Инновационные направления в оптических измерениях и исследованиях оптических систем. — СПб.: НИУ ИТМО, 2008. — 131 с.
5. Боровков А. А. Математическая статистика. — СПб.: Лань, 2010. — 704 с.
6. Тихонов А. Н., Васильева А. Б., Свешников А. Г. Дифференциальные уравнения. — М.: Физматлит, 2005. — 256 с.
7. Грицко Г. И., Власенко Б. В., Мусалимов В. М. Экспериментально-аналитический метод определения напряжений в угольном пласте // ФТПРПИ. — 1971. — № 1. — С. 3–10.
8. Грицко Г. И., Власенко Б. В., Шемякин Е. И. Экспериментально-аналитический метод определения напряжений в массиве горных пород. — Новосибирск: Наука, 1976. — 192 с.
9. Грицко Г. И., Цыцаркин В. Н. Определение напряженно-деформированного состояния массива вокруг напряженных пластовых выработок экспериментально-аналитическим методом // ФТПРПИ. — 1995. — № 3. — С. 18–21.
10. Миренков В. Е., Шутов В. А., Полуэктов В. А. Экспериментально-аналитическое определение контактных условий // Изв. вузов. Строительство. — 2010. — № 5 (617). — С. 10–15.
11. Акимов В. С., Цыцаркин В. Н. Определение границы области неупругих деформаций вокруг круговой выработки // Горное давление в капитальных и подготовительных выработках. — Новосибирск, 1979. — С. 84–87.
12. Шваб А. А. Некорректные статические задачи теории упругости // Изв. АН СССР. Механика твердого тела. — 1989. — Т. 6. — С. 98–106.
13. Шваб А. А. Существенно переопределенная задача теории упругости // Сиб. журн. индустр. матем. — 2001. — Т. 4. — № 1. — С. 204–207.
14. Чанышев А. И., Вологин Д. А. Определение напряженно-деформированного состояния и дефектности массива пород по данным измерений смещений на его поверхности. Ч. 1: Построение аналитических решений // ФТПРПИ. — 2011. — № 4. — С. 3–11.

Поступила в редакцию 25/XI 2020

После доработки 23/XII 2020

Принята к публикации 15/I 2021